

G. Ancona

19/11/2021

$B/R = \text{convex alg. proj. lisse } /R$

$$B(\mathbb{C})^G = B(R) \subset B(\mathbb{C}) \overset{G}{\supset} = \text{convex}$$

$\mathbb{H}^S)$ sub. de Riemann

Theorem $Y \subset \mathbb{P}_R^m$ cubique lisse

definie par $F = 0$

$$F \in R[x_0, \dots, x_m] \overset{\text{hom}}{\text{deg}=3}$$

Alors $\text{Hom}_{\text{Alg}}(B, Y) \subseteq \text{Hom}_{\mathbb{C}}^{(B(R), Y(R))}$
est dense. $(\dim Y \geq 2)$

Ce: approximation fine est
stable par fibration

$\phi \models$

$X(\mathbb{C})$ lisse proj
 $\downarrow +$ G-equiv. surj.ec.
 β f vérifie l'approx. fine (AF)

RK: • $\Omega = B(\mathbb{C}) \Rightarrow$ holom = alg. GAGA

• $\Omega = B(\mathbb{C}) \setminus$ pt affine (i.e. STEIN)
 \Rightarrow plen de fonctions

• la propriété $\forall u: \Omega \rightarrow X(\mathbb{C})$ holo
(AF) intéressante

• un G-invar. \rightarrow utile pour geo réelle
(AF)
 • jets fixés \rightarrow invariance birat.
(AF) (mature technique).

UTILE PER OGGI: $\forall u: \Omega \rightarrow X(\mathbb{C})$ holo

Définition: $\forall R$ proj lisse vérifie
(AF) si $\forall B/R$ la fibration
 triviale $\mathcal{Y}_{X/B}$

\downarrow
 B vérifie (AF)

$$(\Rightarrow) \text{Hom}_{\text{Alg}}(B, Y) \subseteq \text{Hom}_{\text{Hdg}}^{\text{dense}}(X, Y)$$

(+ G - equiv + jets)

Ran: c'est le def qui nous intéresse
mais Mse se comporte mal
par fibrations

Rp: (1) Y versific (AF)

\Rightarrow Y l'at. connexe (RC)

Preuve: $x, y \in Y(\mathbb{C}) \subseteq \mathbb{P}^m(\mathbb{C})$

couper $Y(\mathbb{C})$ par des hyperplans
passants par x, y

$C(\mathbb{C}) \subseteq Y(\mathbb{C})$ courbe

$x, y \in$

close par Bertini. On passe
au revêtement universelle

$\mathbb{P}^1, \mathbb{C}, H \xrightarrow{(*)} Y$ qui touche x, y

$\cap_{\mathbb{P}^1} \cap_{\mathbb{P}^1}$

(connecteur pts ∞)

On a des courbes holo par x, y
 $\xrightarrow{(AF)}$ on trouve P^1 , y qui
nasse par x, y (jets)

(*) x hé G-equivalent?

$$\begin{array}{c} C/\Phi \\ \downarrow \\ \mathbb{R} \end{array}$$

(2) P^m vérifie (AF) (Michèle)

(3) (AF) est un ms. bir.

(matédu) : $x \xrightarrow{\text{bir}} x^1$ (AF)
 $\not\exists \cup_B \not\exists^{x^1}$ $\forall f \quad \forall f^1$

(4) : de (2)+3) $x \longrightarrow B$

lubat. r^{em} quel que vérifie (AF)
fibre eq-deg 2

Preuve : il se pourra que

1^{er} cas $\mathcal{F} : \mathbb{R} \rightarrow X$

exemple : $Q = \{x_0^2 + x_1^2 + x_2^2 = 0\}$
quadruple $Q(\mathbb{R}) = \emptyset$

Comme base $B = \mathbb{P}_{\mathbb{R}}^1$ qui a
des pts réels $Q \times B$

A cause de la



B

Géom. il n'y a pas
de sections car il n'y a pas
de pts réelle (ne abbiamo
néanmoins une Géom.)

Def vide \rightarrow finies. or.

2^{eme} cas : Q

$$\begin{matrix} \downarrow & \curvearrowleft \\ B & \supset \mathbb{R} \end{matrix}$$

forme quadratique
qui a des solutions
analytique

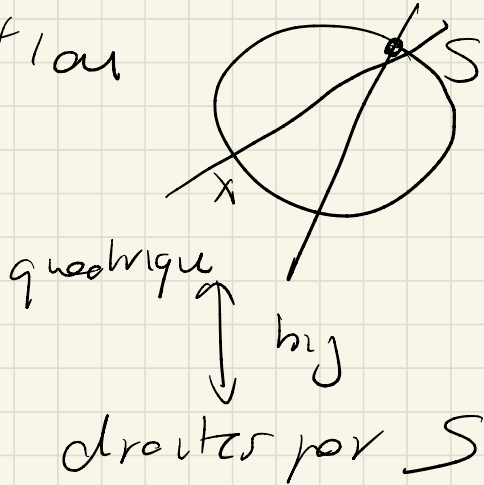
(généralement
existence)

il y a une
section algébrique

(d'un ouvert de Zariski de B)

Dans ce cas, cette fibration est birationnelle à $\mathbb{P}^n \times B$

car H libre \rightarrow pt de la section



B

visto che
ha grado 2

H ch'ante \rightarrow l'altro
pt.

□

cas restant:

- A pas réell B pas réell)
 $\Rightarrow \mathbb{P}^n \times B$ n'a pas des pts réells
non plus)

Theorem (de la Jibration)

X
 $\downarrow f$
 X
 $\downarrow g$
 B

$X, X' / \text{IR prop lisse}$

Supposons que

(1) $X' \rightarrow B$ vérifie (AF)

(2) \exists forme de zariski

$Z \subset X'$ t.q. \forall sections

$S \quad X' \xrightarrow{\quad} B \quad S(B) \not\subset Z$
(i.e. $S(B) \cap Z$ est fini)

la restriction de f à $X \xrightarrow{f} X'$

à moins d' \longrightarrow
 utiliser le propri. b.r.

$\xrightarrow{f|_{S(B)}} S(B)$
 $\xrightarrow{f|_B} B$

seconde
 sup. di
 Richah

vérifie (AF)

Alors $g \circ f : X \longrightarrow B$
 vérifie (AF).

Preuve :

RK:

y

$\downarrow f$

y^1/R

y^1 vérifie (AF)

\forall presque toute fibre

$f^{-1}(y)$ vérifie (AF)

??

\Rightarrow

y vérifie (AF)

(TH précédent : il suffit de supposer
dans positive fibres.)

On en sait rien et c'est
pas un cor. du th sépar

$y^1 \times B$

\downarrow

$y \times B$

\downarrow

B

$f^{-1}(B) \rightarrow Y$

pb

\downarrow

$B \subseteq Y$

\leadsto

$S \sim$

cette fibr.
n'est plus
triviale!

f2 $\underline{\dim Y/R}$ cubique de dim ≥ 2

Vérifie (AF) $\Rightarrow \text{Hom}_{\mathbb{A}^1}(B, Y) \subseteq \text{dense Hom}_{\mathbb{A}^1}(R, Y(C))$

Rk : $\dim Y = 1$ faux

$\hookrightarrow g(Y) = 1$ et on a pas d'appli. de \mathbb{P}^1_R sur Y \square

Prop : $Y \subset \mathbb{P}^m_R$ cubique dense

alors $\mathbb{P}^1_R \subseteq Y \subseteq \mathbb{P}^m_R$

inclusion linéaire

(Preuve : réduire dimension)

$$Y \subseteq \mathbb{P}^m$$

$$U_1 \cup U_2$$

$$Y \cap \mathbb{P}^{m-1} \subseteq \mathbb{P}^{m-1}$$

etc.

$$\dim Y = 2$$

27 droites sur Y

impair \rightarrow paire 1
réelle.

aussi
 $\deg Z$
isse (Bertini)

Construction (projection de la droite
 $L \subseteq Y$)

$\dim Y = d \rightarrow Y \setminus L \xrightarrow{\text{fibres}} \{ \text{plans} \ni L \}$

$y \in Y \xrightarrow{\quad} \text{plan passant par } y \text{ et contenant } L$

$\langle y, L \rangle$

Prop : La base est P^{d-1} , les fibres sont des quadriges de dim

Preuve : base

$\begin{array}{c} P^{d+1} \\ \cup \\ \{ \text{plans} \ni L \} \\ \cup \\ \omega_3 \end{array} \xrightarrow{\text{versas et ext.}} \begin{array}{c} V_{d+2} \\ \cup \\ \omega_3 \\ \cup \\ V_2 \end{array}$

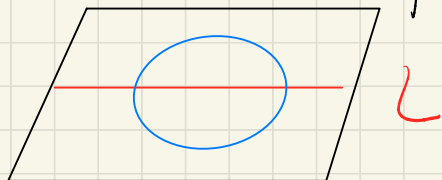
quotient V_{d+2}/V_2

$\xrightarrow{\quad} \begin{array}{c} \cup \\ \{ \omega_3/V_2 \} \\ \cup \\ V_2 \end{array} \xleftarrow{\quad} \text{e. vect. de dim}$

$\xrightarrow{\quad} P^{d-1}$

fibre : on fixe un plan $P \supset L$

$F = \text{fibres} = \{ y \in Y \setminus L : y \in P \}$



\cap
 $Y \cap P$
 $\text{eq deg } 3$

\cup

L

$\Rightarrow \deg F = 2$

Preuve (TH principal) $Y = \text{cubique}$

$$A \times B \xrightarrow{\quad} Y \times B \\ \downarrow \\ B$$

à étudier.

D'autre part $Y \xrightarrow{\text{bir}} Q \xrightarrow{\quad} \mathbb{P}^{d-1}$ en
 fibré en
 sous-variétés

$$\Rightarrow Q \times B \xrightarrow{\quad} \mathbb{P}^{d-1} \times B \xrightarrow{\quad} B$$

TH fibration
 \implies

$\mathbb{P}^{d-1} \longrightarrow B \text{ (AF)}$

$B \leftarrow Q' \subseteq \mathbb{P}^{d-1}$

$Z = \text{fibres de le fibr. qui sont singulières}$

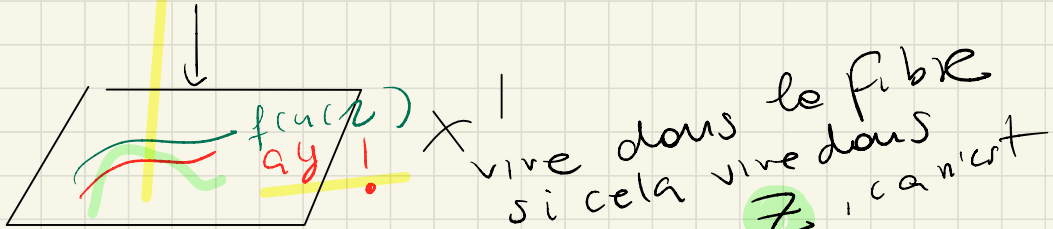
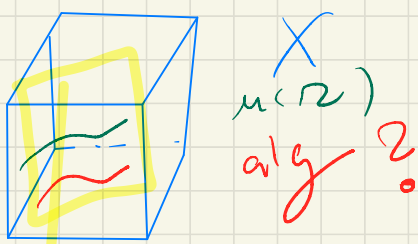
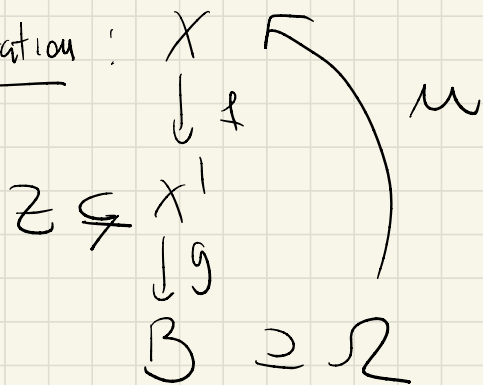
encore une fibration
en quadriges



RK: en dim=0 $Q_0 \neq P^o$
2 pts 1 pt

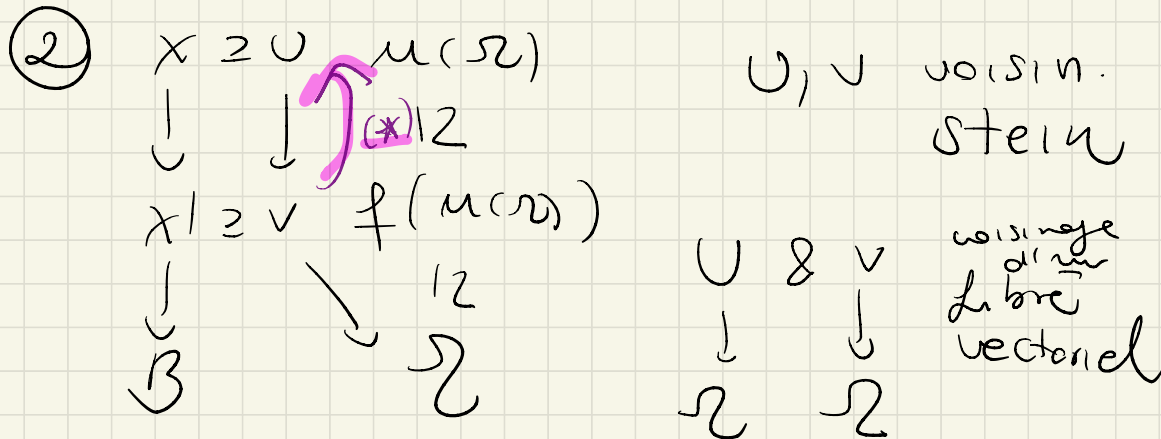
f3 Preuve thm de la fibration

Notation:



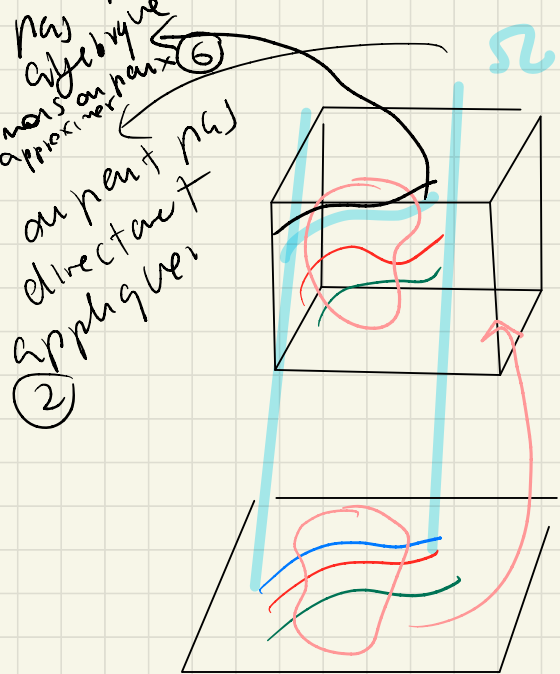
Stratégie: construire $B \subseteq X^1$ (1)
 proche à $f(\mu(r))$ mais
PROBLEME: B pourrait être
 doux \mathbb{Z} . de l'hypothèse (2)

Preuve: (matria) (1) avec la géo
 bordale on peut supposer que
 $\mu(r)$ vit où la fibration
 $f: X \rightarrow X^1$ est une submersion.



(loc: thm funct. implicite)
 (globale: Stein)

③ Les fibres sont planes dans les sections S (stain)
 On peut bouger un peu u pour sortir de \mathcal{F} . $\mathcal{F} \neq \mathcal{F}'(\text{alg})$



S est pas la donnée d'une perturbation analytique

S encore pas dans \mathcal{F}
 $\mathcal{F} \neq \mathcal{F}'(\text{alg})$
 pas dans \mathcal{F}

④ On prend une approx alg en has dans X^1 , elle ne sera pas dans \mathcal{F} .

⑤ On peut construire une section analytique $V \xrightarrow{(*)} M$ t.q.

$f \text{ sur } \rightarrow M$ (surjection
des fibres vectorielles sur un
stein sans cadre (pas de H'))

⑥ A l'aide de (*) on
a une courbe analytique c'
au dessus de notre courbe c .
 $B \subseteq X$. On peut appliquer
l'hypothèse (2) à

Section du
fiber B

$$\begin{array}{ccc} f^{-1}(B) & \xrightarrow{\quad} & X \\ \downarrow & & \downarrow \\ B & \subseteq & X' \end{array}$$

(Guardare fibrati imbarcati).
esistente sezione?

Famiglia di
fibri
 \downarrow
 B section